

Ce-TZP/Ce-TZP-Al₂O₃ 다층구조 복합체의 미세구조

백인찬 · 황규홍[†] · 이종국*

경상대학교 생산기술연구소

*조선대학교 재료금속공학부

(2000년 12월 29일 접수; 2001년 5월 2일 승인)

Microstructures of Multi-layer Ce-TZP/Ce-TZP-Al₂O₃ Composites

In Chan Baek, Kyu Hong Hwang[†] and Jong Kook Lee*

Research Institute of Industrial Engineering, Gyeongsang Nat'l Univ., Kyungnam 660-701, Korea

*Division of Materials Eng., Chosun Univ., Chunnam 501-759, Korea

(Received December 29, 2000; Accepted May 2, 2001)

요약

16 mole%의 CeO₂가 고용된 Ce-TZP 소결체 사이에 140~240 μm 두께의 Ce-TZP-5~30 vol%Al₂O₃ 중간층이 삽입된 층상복합체를 분말건식가압성형법에 의해 제조하였다. 소결온도는 Al₂O₃가 5~30 vol.% 첨가될 때 90% 이상의 소결밀도를 얻을 수 있도록 1600°C로 정하였다. 이러한 3층복합체에서 바깥의 Ce-TZP 지역에서의 파괴 형태는 입내파괴를 보여주었지만 Al₂O₃가 함유된 중간층에서는 입계파괴로 전이되면서 인성증가를 보여주었다. 이러한 층상 복합체의 경우 중간 층에 들어가는 Ce-TZP 중의 Al₂O₃ 함량이 30 vol.% 정도에 이르면 층간의 서로 다른 소결밀도 및 수축율, 열팽창계수 때문에 층간 소결 결합이 생겨 층간에서 균열의 전파가 큰 영향을 받음을 알 수 있었다. 반면 중간층의 Al₂O₃ 함량이 적을 경우 층간 결합이 생기지 않아 층간에서 균열의 전파가 별 영향을 받지 않음을 알 수 있었다.

ABSTRACT

Laminar composites containing layer of Ce-TZP-5~30 vol%Al₂O₃ between Ce-TZP layers have been fabricated using dry powder pressing that allowed formation of layers with thickness range from 140 μm to 240 μm. Sintering temperature was chosen as 1600°C for 2 hours which showed stable density range from about 92% to 95% even though 5~30 vol.% Al₂O₃ was added. The crack propagation of 16Ce-TZP region was intra-granular fracture mode and with increasing Al₂O₃, fracture mode was changed gradually to inter-granular fracture mode which increased fracture toughness. As the Al₂O₃ content of central layer increased, strong interactions between these layers have been observed so that fracture toughness was somewhat increased. But small amount of Al₂O₃ was added in Ce-TZP-Al₂O₃ layer there was no reaction between these layers and showed no differences in microstructures.

Key words : Laminar composites, Multi-layer, Ce-TZP, Al₂O₃, Dry pressing

1. 서 론

지금까지의 구조요업체에 대한 연구는 흠(flaw)이 없는 소결체의 제조 공정에 초점을 맞추어 왔다. 이러한 노력의 결과로 최근 알루미나 및 지르코니아, 탄화규소, 질화규소, 몰라이트, 스페넬 등을 중심으로 한 고강도 고인성의 요업체가 어느 정도 실용화의 단계에까지 이르러 있다.^{1,2)} 그러나 이러한 연구가 어느 정도 성과를 거두어감에 따라 최근에는 생성된 균열의 전파에 대한 저항성의 증진(R-curve behavior 등)에 새로운 초점을 맞추어 연구가 진행되고 있다.³⁾ 따라서 지르코니아(ZrO₂)의 경우에도 준안정 정방정(t) 개재

물의 응력유기상변태 및 냉각과정 중 전이된 단사정(m) 개재물 주위에 생성된 미세균열 등 미시적으로 작용하는 강화기구에 대해 다층 복합재료에서 볼 수 있듯이 서로 다른 열수축에 의해 발생하는 내부응력이 계면에서 균열편향을 야기시키는 등의 거시적으로 작용하는 계면기구에 의해 부차적으로 균열전파저항을 향상시킬 수 있는 방안 등이 관심의 대상이 되고 있다.^{3,4)}

이러한 지르코니아 세라믹스 중 8 mol% 이상의 CeO₂를 고용한 정방정 지르코니아 다결정체(Ce-TZP)는 비교적 고기의 CeO₂ 함량이 많다는 단점은 있지만 매우 높은 파괴인성을 가질 뿐 아니라 Y-TZP와 달리 화학적 및 열처리 시 안정한 정방정상을 유지하는 우수한 시효거동을 나타내므로 구조재료로써 충분한 활용 가능성을 갖는 것으로 판

[†]Corresponding author : khhwang@nongae.gsnu.ac.kr

단된다.¹¹⁻¹⁴⁾ 그러나 이를 치밀화 및 고용체화 시키기 위해서는 고온에서 장시간 소결하여야만 하고, 이 결과 발생하는 임성장은 강도를 저하시키며, 또한 소성변형의 정도를 감소시킨다.¹³⁾ 결국, Ce-TZP의 강도는 일반적으로 Y-TZP의 강도보다 낮게 되므로 파괴강도를 증진시키는 것이 매우 높은 파괴인성을 갖는 Ce-TZP의 용융에 필수적이라고 판단된다.¹⁴⁾ 따라서 임성장을 억제하기 위해서는 알루미나(Al₂O₃)와 같은 서로 반응하지 않는 2차상을 분산시키는 방법이 제일 효과적이므로 알루미나를 분산시킨 Y-TZP, 또는 Ce-TZP 등에 대해 많은 연구가 이루어져 왔다.^{7,10,15)} 이러한 Ce-TZP에 알루미나 입자의 첨가는 지르코니아의 임성장을 억제할 수 있을 뿐 아니라 알루미나의 상대적으로 높은 탄성계수로 인하여 복합체의 탄성을(E)을 높여주게 된다. 또한 분산상의 낮은 열팽창계수(α -Al₂O₃= $8.1 \times 10^{-6} \text{ C}^{-1}$; t-ZrO₂= $11.0 \times 10^{-6} \text{ C}^{-1}$)로 인한 내부응력에 의해 고강도화가 가능하지만 이 경우 Ce-TZP 자체의 높은 인성을 어느 정도는 희생해야만 하는 양면성이 있다.⁷⁾

한편 지르코니아 분산 알루미나 요업체(Zirconia-Toughened Alumina)에서 분산된 ZrO₂상을 갖는 2중층(A층)보다 높은 분율의 ZrO₂를 함유하는 층(B)으로 구성된 이중구조의 복합체가 제안된 바 있다.^{3,5)} 이 경우 잔류응력의 불균질성은 A층에 인장응력, B층에 압축응력을 발생시켜 강도를 증진시키는데 유익하며, BA복합체는 AB복합체에 비하여 인성치가 높다고 보고되어 있다.^{3,5)} 이것은 가해진 응력에 대하여 수직방향에 위치하는 미세균열의 에너지흡수 효과에 기인하는데 Claussen⁵⁾은 비대칭적인 2중구조와는 현저한 대조를 이루는 대칭구조를 얻기 위하여 다수의 A/B층을 갖는 디중복합재료의 제조를 제안하였다. 이러한 층상 계면과 관련된 강화기구에 대해서는 아직 명확하게 규명되지는 않았지만,⁷⁻¹⁰⁾ 이 층상구조 내부에서의 응력상태는 상당히 흥미로울 것으로 생각된다. 이러한 디중복합체의 제조에 이용되는 가장 보편적인 기술은 얇고, 넓은 기판을 만들 수 있는 테이프 캐스팅법(doctor-blade법)이지만 복잡한 형상의 제약성, 생산성 면에서 부적합하므로 이에 대해서도 많은 연구가 있어야 할 것으로 사료된다.

따라서 본 연구에서는 통상적인 기압성형법(Pressing)을 이용하여, 적층화와 ZrO₂의 상변태 인성 증진을 이용한 기계적 성질의 향상을 동시에 얻기 위하여 Ce-TZP/Ce-TZP-Al₂O₃/Ce-TZP계를 기본 모델로 하는 디중복합재료의 미세구조를 설계하고, 그 최적의 제조공정을 확립하며, 아울러 소결체의 특성을 평가함으로써, 이 소재의 용융범위를 확대하고자 하였다.

2. 실험방법

2.1. 시편제조

140~240 μm의 얇은 층을 가지는 Ce-TZP와 Ce-TZP-5~

30 vol%Al₂O₃/Ce-TZP의 층상복합체를 분발성형법(dry powder pressing)을 이용하여 만들기 위한 분말의 준비는 다음과 같다. ZrO₂ 분말(Hanwha Advanced Ceramics, Z05, Australia)에 16 mol%의 CeO₂(Acros, >99.9%, USA) 및 0~30 vol.%의 Al₂O₃를 첨가하여 중류수와 함께 Y-TZP 볼을 이용하여 6시간동안 attrition milling 시킨 후 건조하였다. Al₂O₃의 경우 산화물 직접 첨가 방법으로는 분산이 잘 이루어지지 않았기 때문에 Al(NO₃)₃ · H₂O(Daejeong, FG, Korea)의 염 형태로 첨가하였다.^{5,17,18)} 건조분말은 800°C에서 1시간 하소한 후, 이를 다시 4시간 attrition milling 시킨 후 입구온도 180°C, 출구온도 130°C의 조건으로 spray drying(MH-8, Ilshin Eng, Korea) 하였다.

이 과립분말을 층상복합체로 성형하기 위하여 먼저 Ce-TZP단을 4 MPa로 1차 성형을 한 후 이 위에 Ce-TZP-5~30 vol%Al₂O₃의 과립분말을 골고루 편 다음 같은 압력으로 2차 성형을 하였으며 그 위에 다시 Ce-TZP 과립을 층진하여 성형한 다음 최종적으로 300 MPa로 2분간 정수압 성형을 하였다. 모든 성형 시편은 5×50 mm 크기에 두께를 5 mm 정도가 되도록 조정하였으며 중간에 삽입되는 Ce-TZP-5~30 vol%Al₂O₃ 층의 두께가 0.2~0.3 mm가 되도록 분말의 양을 상호 조정하였다. 모든 성형체는 모두 super kanthal 발열체를 사용한 전기로에서 1600°C로 2시간 공기 중에서 소결한 후 로냉하였다.

2.2. 물성측정

밀도는 아르카메데스법(KSL 3114)을 이용하였으며 4점 곡강도 시험은 UTM(LR30K, LLORD Instrument, England)을 이용하여 cross head speed 0.5 mm/min, support span 30 mm, inner span 10 mm로 측정하였다. 강도 시편은 모든 조성에 대해 5~7개의 시편을 이용하였으며 grinding과 cutting, polishing 하는 동안 monoclinic 상으로의 변태가 일어날 수 있기 때문에 모든 시편에 대해 연마후 1500°C에서 2시간 열처리 하였다. 파괴인성은 Vickers Indenter(FV-7e, Future-Tech)를 사용하여 Ce-TZP의 계면부에 압입하여 crack을 성장시킨 다음 균열 길이를 측정하여 Evans & Charls¹⁶⁾의 식을 이용하여 구하였다. 소결체의 미세구조와 파괴시 균열 전파 형태를 관찰하기 위해 소결체의 연마면을 주사전자현미경(XL 30S, Philips)으로 관찰하였다.

3. 결과 및 고찰

3.1. Ce-TZP/Al₂O₃ 복합체의 특성

Fig. 1에 1600°C에서 2시간 소결한 12, 14, 16Ce-TZP 소결체의 X-선 회절 분석결과를 나타내었는데 산화물 CeO₂를 사용하여 고상반응에 의해 고용체화를 시켰기 때문에 12 및 14Ce-TZP에서는 상당량의 단사정상을 보이고 있다. 따

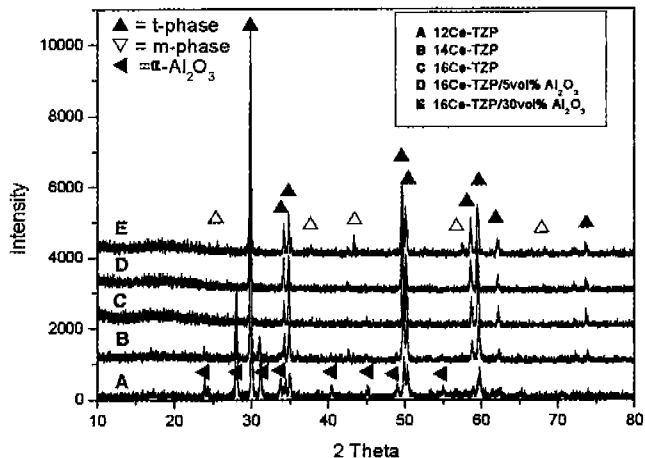


Fig. 1. X-ray diffraction pattern of 12–16Ce-TZP and 16Ce-TZP/5~30 vol% Al_2O_3 with increasing Al_2O_3 content sintered at 1600°C for 2 h.

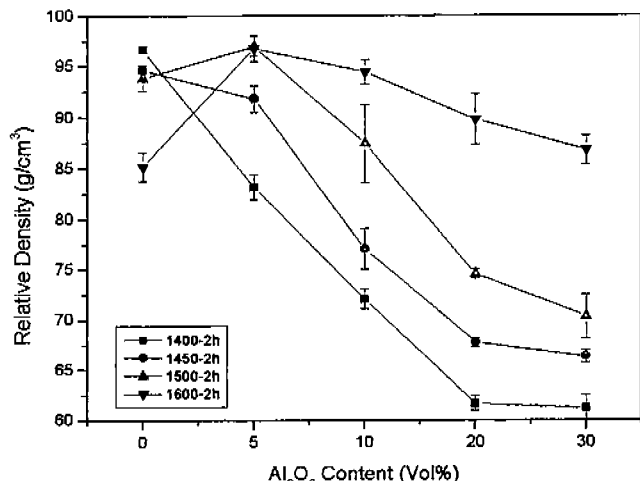


Fig. 2. Relative Density of Ce-TZP/0~30 vol% Al_2O_3 with increasing Al_2O_3 content and sintering temperature.

라서 본 연구에서는 16Ce-TZP만을 사용하였으며 16Ce-TZP의 경우 Al_2O_3 의 첨가에 의한 단사정상의 생성은 관찰되지 않음을 볼 수 있었다.

Fig. 2 및 Fig. 3에는 소결온도와 Al_2O_3 함량을 변화시킨 16Ce-TZP- Al_2O_3 복합체의 소결밀도 및 소성수축율의 변화를 나타내었다. Al_2O_3 의 함량이 증가할수록 상대밀도는 감소하며, 소결온도가 증가할수록 상대밀도는 증가함을 알 수 있었다. 그러나 1600°C에서 2시간 소결한 16Ce-TZP 시편에서는 과소결현상이 나타났으나 Al_2O_3 첨가가 과소결 현상을 억제하여 Al_2O_3 함량에 따른 밀도 및 수축율의 변화가 가장 적었으므로 다층 복합체의 소결온도는 1600°C, 2시간으로 하였다.

한편 Fig. 4에서 볼 수 있듯이 1600°C에서 2시간 소결한 16Ce-TZP- Al_2O_3 복합체의 강도는 Al_2O_3 의 함량이 증가하

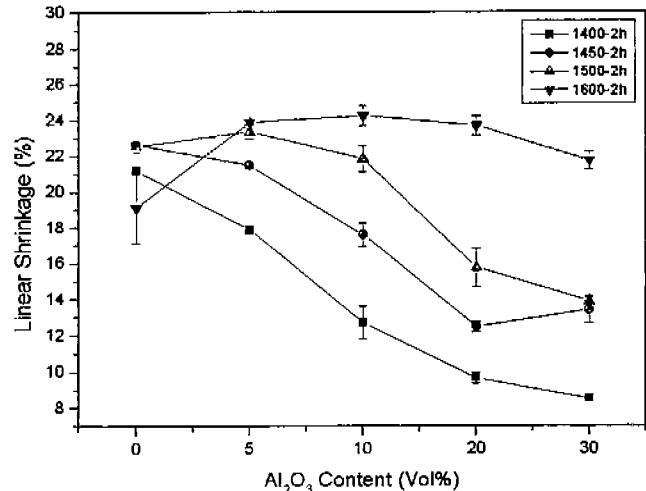


Fig. 3. Linear shrinkage of Ce-TZP/0~30 vol% Al_2O_3 with increasing Al_2O_3 content and sintering temperature.

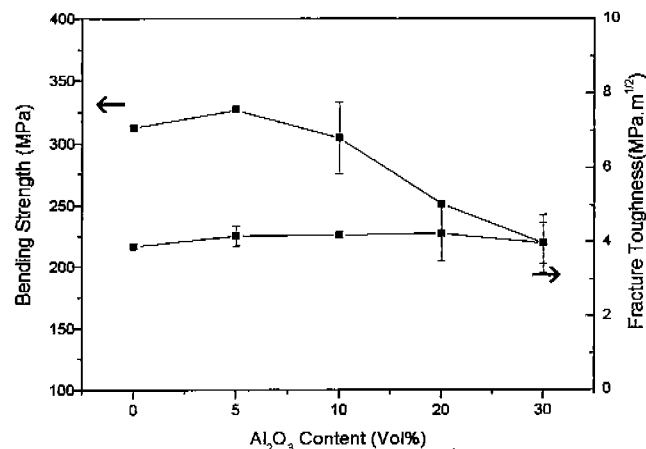


Fig. 4. Strength and fracture toughness of Ce-TZP/0~30 vol% Al_2O_3 with increasing Al_2O_3 content sintered at 1600°C for 2 h.

면 감소함을 볼 수 있다. 이는 16Ce-TZP의 경우 Al_2O_3 의 분산 강화보다는 Fig. 2에서 보듯이 밀도의 감소가 강도에 더 큰 영향을 미치는 것으로 생각된다. 파괴인성의 경우 Al_2O_3 의 함량에 따라 큰 변화를 보이지 않는데 이는 Al_2O_3 의 량이 증가할수록 응력유기상변태의 양이 감소하지만 Fig. 5의 미세구조 변화에서 볼 수 있듯이 파괴 형상의 차이가 생기기 때문인 것으로 판단된다.

한편 Fig. 5의 미세구조에서 보듯이 Al_2O_3 가 소량 첨가된 16Ce-TZP/5 vol% Al_2O_3 의 파괴 형상은 입내파괴(intra-granular fracture)임을 알 수 있다. 하지만 Al_2O_3 함량이 증가하면 Fig. 5(b)에서 볼 수 있듯이 입계파괴(inter-granular fracture)의 비율이 점점 증가하여 입내, 입계파괴가 동시에 일어남을 알 수 있었다. 이로 인한 균열 편향(crack deflection) 및 균열 연결(bridging) 등을 관찰할 수 있어 파

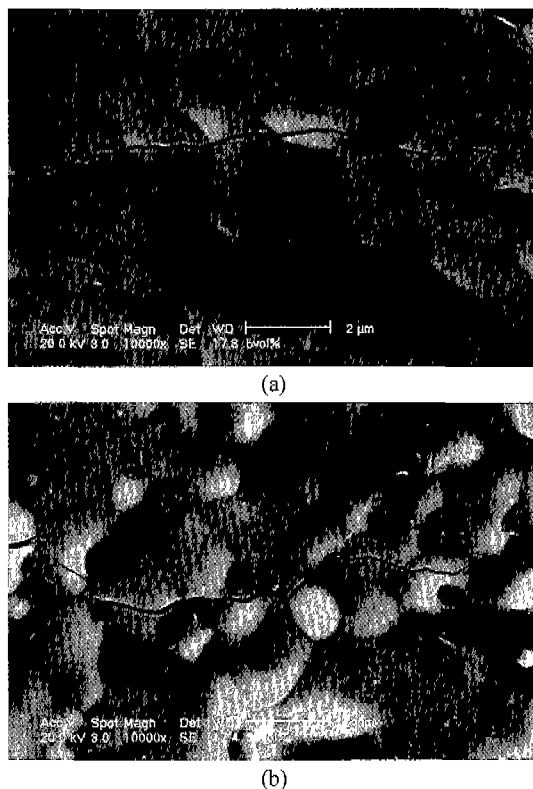


Fig. 5. SEM micrographs of the crack propagation of 16Ce-TZP ceramics with increasing Al₂O₃ content sintered at 1600°C for 2 h.

(a) 5 vol% Al₂O₃ and (b) 30 vol% Al₂O₃.

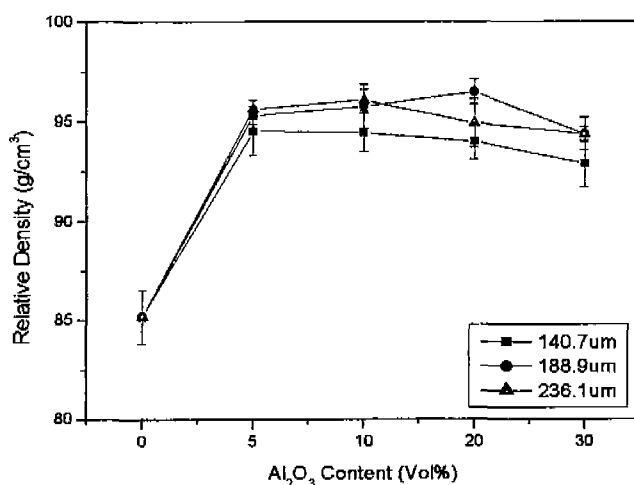


Fig. 6. Relative density of 16Ce-TZP/16Ce-TZP-Al₂O₃/16Ce-TZP layer composites as a function of Al₂O₃ contents in 16Ce-TZP-Al₂O₃ layer sintered at 1600°C for 2 h.

파인성의 증진을 가져 올 것이라고 판단되었지만 응력유기상변태의 감소에 의해 전체적으로는 인성의 별다른 변화를 가져오지 않은 것으로 판단된다.

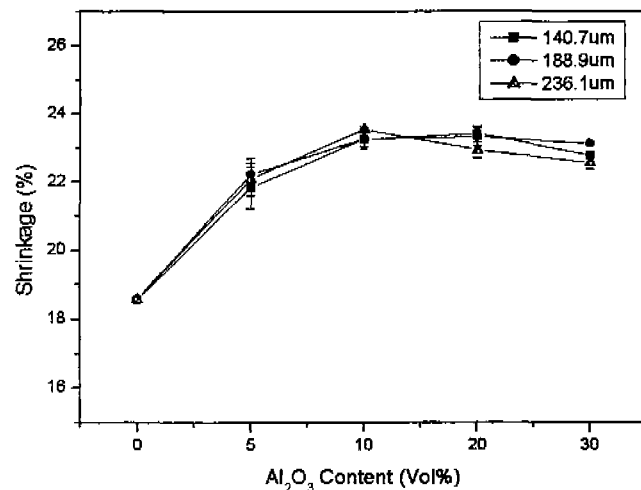


Fig. 7. Linear shrinkages of 16Ce-TZP/16Ce-TZP-Al₂O₃/16Ce-TZP layer composites as a function of Al₂O₃ contents in 16Ce-TZP-Al₂O₃ layer sintered at 1600°C for 2 h.

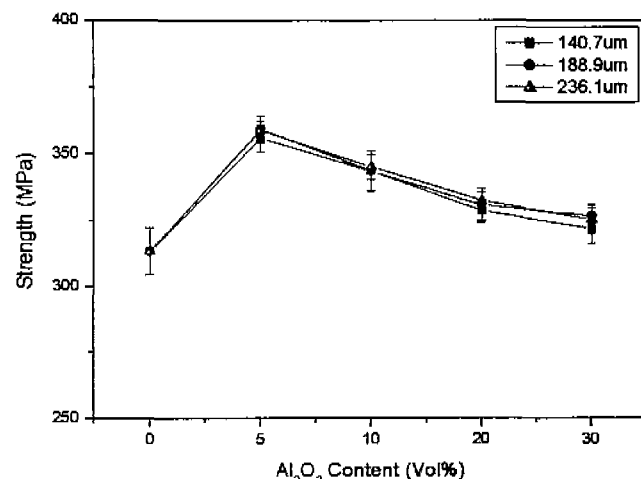


Fig. 8. Bending strength of 16Ce-TZP/16Ce-TZP-Al₂O₃/16Ce-TZP layer composites as a function of Al₂O₃ contents in 16Ce-TZP-Al₂O₃ layer sintered at 1600°C for 2 h.

3.2. Ce-TZP/Ce-TZP-Al₂O₃ 다중 복합체의 특성

Fig. 6에는 16Ce-TZP/16Ce-TZP-Al₂O₃/16Ce-TZP 3층 복합체에서 중간층의 Al₂O₃ 함량에 따른 소결밀도의 변화를, Fig. 7에는 수축율의 변화를 나타내었다. 16Ce-TZP 단단미소결체의 경우 1600°C에서 과소결 현상을 보여주었는데 중간에 140~240 μm의 얇은 16Ce-TZP-Al₂O₃ 층이 들어가도 과소결 현상이 상당히 억제됨을 알 수 있다. 그러나 16Ce-TZP-Al₂O₃ 층중의 Al₂O₃ 함량이 많아지면 전체적인 소결밀도는 저하되고 소성수축도 감소됨을 볼 수 있다.

Fig. 8에는 16Ce-TZP/16Ce-TZP-Al₂O₃/16Ce-TZP 3층 복합체에서 중간층의 Al₂O₃ 함량에 따른 휨강도의 변화를, Fig. 9에는 파괴인성의 변화를 나타내었다. 과소결 현상의

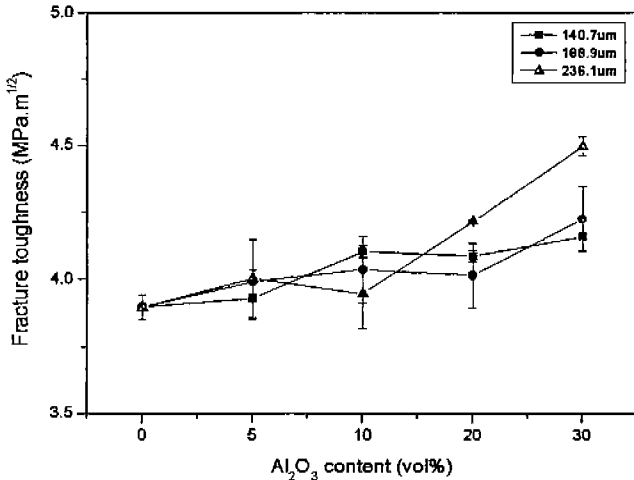


Fig. 9. Fracture toughness of Ce-TZP/0~30 vol%Al₂O₃ with increasing Al₂O₃ content sintered at 1600°C for 2 h.

언제, 즉 밀도의 증가에 의해 16Ce-TZP 단단 소결체보다는 5 vol%의 Al₂O₃가 분산된 16Ce-TZP/16Ce-TZP-Al₂O₃/16Ce-TZP 복합체의 강도는 증가하였지만 중간층의 Al₂O₃의 함량이 30 vol%로 증가하면 중간의 수축율 및 열팽창계수

의 차이에 의해 급격한 강도의 저하를 볼 수 있다. 반면 파괴인성의 경우는 단단 소결체에서와는 달리 16Ce-TZP-Al₂O₃ 층중의 Al₂O₃ 함량이 증가할수록 증가함을 볼 수 있다.

이는 Fig. 10의 16Ce-TZP와 16Ce-TZP-Al₂O₃ 층의 미세조직의 변화에서 볼 수 있듯이 중간층의 Al₂O₃의 함량이 5 vol.%일 경우 두 층간의 소결 밀도 및 수축율, 열팽창계수가 비슷하기 때문에 계면에서 아무런 소결 결합이나 균열 전파거동의 변화가 없기 때문이다. 그러나 Al₂O₃의 함량이 30 vol.%로 증가하면 Fig. 10(b)에서 볼 수 있듯이 두 층간의 소결 밀도 및 수축율, 열팽창계수가 크게 다르기 때문에 계면에서 소결 결합이 발생하여 균열의 편향을 가져오기도 하고 Fig. 10(c)와 (d)에서 보듯이 균열 전파가 상당히 골절되는 것이 인성의 증진을 가져오는 것으로 생각된다.

4. 결 론

분말 가압성형공정(Dry Pressing)을 이용하여 Ce-TZP/Ce-TZP-Al₂O₃ 다층복합체를 제조하고 그 미세구조 및 기계적 특성을 고찰하여 다음의 결론을 얻었다.

1. 분무건조된 과립을 가압성형하여 140 μm 정도의 얇은 층을 포함하는 치밀한 다층복합체를 제조할 수 있었다.

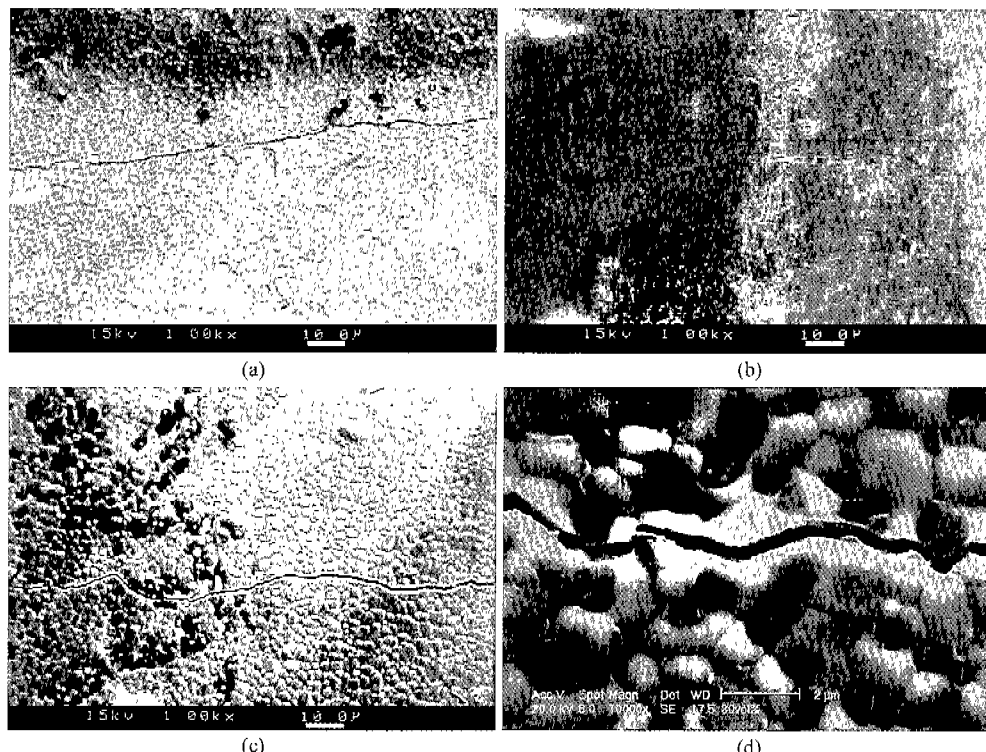


Fig. 10. SEM micrographs of 16Ce-TZP and 16Ce-TZP/5~30 vol%Al₂O₃ interface: sintered at 1600°C for 2 h and thermal etched at 1500°C for 2 h.

- (a) 16Ce-TZP and 16Ce-TZP/5 vol%Al₂O₃ layer interface. (b) and (c) 16Ce-TZP and 16Ce-TZP/30 vol%Al₂O₃ layer interface. (d) Fracture pattern in 16Ce-TZP-30 vol%Al₂O₃ region.

2. Ce-TZP-Al₂O₃ 층 중의 Al₂O₃ 함량이 5 vol.%로 소량인 경우 16Ce-TZP 단단미의 경우와 소결에서 큰 차이가 없어 충간에 결함이 생기지 않아 소결밀도 및 강도는 증가하였으나 인성의 증가는 관찰할 수 없었다.
3. Ce-TZP-Al₂O₃ 층 중의 Al₂O₃ 함량이 30 vol.%로 증가하는 경우 16Ce-TZP 단단층 사이에 생기는 충간 소결결함 및 잔류응력에 의해 소결밀도 및 강도는 감소하였으나 균열의 편향에 따른 인성의 증가를 관찰할 수 있었다.

감사의 글

본 연구는 1998년도 학술진흥재단 신소재공동연구비의 지원에 의해 이루어졌음

REFERENCES

1. A. G. Evans, "Perspective on the Development of High-toughness Ceramics," *J. Am. Cer. Soc.*, **73**(2), 187-206 (1990).
2. R. M. McMeeking and A. G. Evans, "Mechanics of Transformation Toughening in Brittle Materials," *J. Am. Ceram. Soc.*, **65**, 242-246 (1982).
3. A. H. Heuer, "Alloy Design in Partially Stabilized Zirconia," in Advances in Ceramics, Vol. 3, Science and Technology of Zirconia I, pp 98-115, Edited by A.H.Heuer, et al., The American Ceramic Society, Inc. (1981).
4. S. J. Bennison and B. R. Lawn, "Flaw Tolerance in Ceramics with Rising Crack-resistance Characteristics," *J. Mater. Sci.*, **24**, 3169-3170 (1989).
5. H. H. Kang and J. K. Lee, "Preparation of Ceria-stabilized Zirconia Ceramics with Irregular Grain Shape," *J. Kor. Ceram. Soc.*, **36**(4), 372-379 (1999).
6. M. P. Harmer, H. M. Chan and G. A. Miller, "Unique Opportunities for Microstructural Engineering with Duplex and Laminar Ceramic Composites," *J. Am. Cer. Soc.*, **75**(7), 1715-1728 (1992).
7. D. B. Marshall, J. J. Ratto and F. F. Lange, "Enhanced Fracture Toughness in Layered Microcomposites of Ce-ZrO₂ and Al₂O₃," *J. Am. Ceram. Soc.*, **74**(12), 2979-2987 (1991).
8. J. She, S. Scheppokat, R. Janssen and N. Claussen, "Reaction-bonded Three-layer Alumina-based Composites with Improved Damage Resistance," *J. Am. Cer. Soc.*, **81**(5), 1374-1376 (1998).
9. J. Yoo, K. M. Cho, W. S. Bae, M. Cima and S. Suresh, "Transformation-toughened Ceramic Multilayers with Compositional Gradients," *J. Am. Cer. Soc.*, **81**(1), 21-32 (1998).
10. P. Z. Cai, D. J. Green and G. L. Messing, "Constrained Densification of Alumina/Zirconia Hybrid Laminates, I: Experimental Observations of Processing Defects," *J. Am. Cer. Soc.*, **80**(7), 1863-1867 (1997).
11. M. V. Swain, R. H. J. Hannink and J. Drennan, "Some Interfacial Relative Properties of Transformation Toughened Ceramics," p. 819 in Ceramic Microstructures '86, Role of interfaces, Ed. by J.A.Pask, et al., Plenum, New York (1987).
12. R. H. J. Hannink and M. V. Swain, "Metastability of Martensitic Transformation in a 12 mol% Ceria-Zirconia Alloy: Deformation and Fracture observation," *J. Am. Ceram. Soc.*, **72**(1), 90-98 (1989).
13. L. R. F. Rose and M. V. Swain, "Transformation Zone Shape in Ceria-Partially-Stabilized Zirconia," *Acta Metall.*, **36**(4), 955-962 (1988).
14. C. S. Yu and D. K. Shetty, "Transformation Zone Shape, Size, and Crack-Growth-Resistance (R-Curve) Behavior of Ceria-Partially-Stabilized Zirconia Polycrystals," *J. Am. Ceram. Soc.*, **72**(6), 921-928 (1989).
15. T. Sato, T. Endo and M. Shimada, "Postsintering Hot Isostatic Pressing of Ceria-doped Tetragonal Zirconia/Alumina Composites in an Argon-Oxygen Gas Atmosphere," *J. Am. Ceram. Soc.*, **72**(5), 761-764 (1989).
16. D. L. Porter and A. H. Heuer, "Mechanism of Toughening Partially Stabilized Zirconia (PSZ)" *ibid*, **60**(3-4), 183-184 (1977).
17. Y. G. Son and H. C. Park, "Mechanical Properties of Zr (Y,Ce)O₂ TZP after Aging in Hydrothermal Condition," *J. Kor. Ceram. Soc.*, **36**(12), 1390-1395 (1999).
18. K. H. Hwang and S. M. Kim, "The Fabrication and Their Properties of Zirconia-spinel Composites by Reaction Sintering," *J. Kor. Ceram. Soc.*, **33**(7), 779-784 (1996).